

**ИНДУКЦИОННЫЙ МЕТОД НЕПРЕРЫВНОЙ РЕГИСТРАЦИИ  
СКОРОСТИ КОНДЕНСИРОВАННОЙ СРЕДЫ  
В УДАРНО-ВОЛНОВЫХ ПРОЦЕССАХ**

Ю. П. Жугин, К. К. Крупников

(Челябинск)

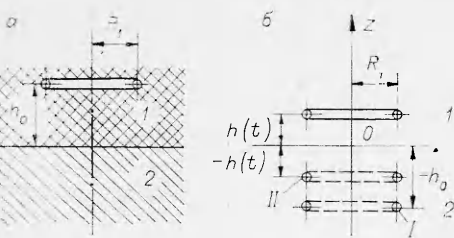
При исследовании сложных явлений, происходящих при ударном сжатии конденсированных сред (упругопластические волны, фазовые превращения и т. п.), полезную информацию могут дать методы непрерывной регистрации скорости среды в ударно-волновых процессах. В ряде исследований хорошо зарекомендовал себя магнитно-электрический метод непрерывной регистрации скорости диэлектрических сред [1] и емкостный метод измерения мгновенной скорости движущейся металлической поверхности [2]. К сожалению, количественные измерения с помощью магнитно-электрического метода практически невозможны при относительно высоких давлениях, создаваемых металлическими ударниками, вследствие искажения движением ударника первоначального магнитного поля. Емкостный же метод очень чувствителен к помехам и не позволяет осуществлять измерения скорости границы раздела металла — конденсированного диэлектрика из-за изменения за фронтом сильной ударной волны диэлектрической проницаемости среды, заполняющей межэлектродный промежуток.

В данной работе рассматривается метод [3], свободный от указанных выше ограничений, свойственных магнитно-электрическому и емкостному методам, и позволяющий осуществлять непрерывную регистрацию скорости конденсированной среды при более высоких давлениях ударного сжатия. Методы измерения параметров ударно-сжатых сред, близкие по физическим принципам к принципу предлагаемого метода, рассмотрены в [4, 5].

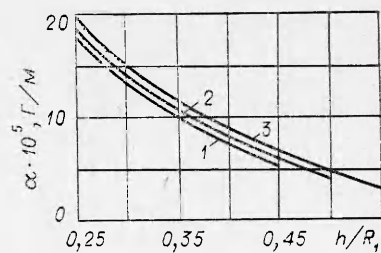
**1. Принцип индукционного метода.** Пусть виток радиуса  $R_1$  с пренебрежимо малым сечением провода подключен к стабилизированному источнику постоянного тока и расположен в конденсированной диэлектрической среде  $I$  (фиг. 1, а) на высоте  $h_0$  над проводящим полупространством  $2$  с электропроводностью  $\sigma \rightarrow \infty$ , а во всем пространстве установилось стационарное магнитное поле. Магнитные проницаемости сред  $\mu_1 = \mu_2 = \mu_0$ , где  $\mu_0$  — магнитная проницаемость вакуума. Если по какой-либо причине в диэлектрической среде  $I$  произойдет изменение магнитного поля, в витке появится электродвижущая сила (ЭДС) индукции  $\mathcal{E}_1$ .

Проследим за поведением ЭДС индукции в витке, если по системе снизу вверх будет распространяться плоская ударная волна, фронт которой параллелен границе раздела сред. Пока фронт волны движется по проводнику, ЭДС индукции в витке не возникает. Этот вывод следует из работ [6, 7], в которых показано, что в идеальном проводнике поле перед фронтом ударной волны остается равным своему первоначальному значению. Однако после того как в момент времени  $t = 0$  фронт волны выйдет на границу раздела, последняя придет в движение, и на поверхности проводящей среды появятся концентрические вихревые токи. Они вызовут изменение поля в верхнем полупространстве и появление в витке ЭДС индукции  $\mathcal{E}_1$ , зависящей от скорости движения  $u(t)$  границы раздела диэлектрика — проводника. Чтобы установить зависимость  $\mathcal{E}_1$  от скорости  $u(t)$ , перейдем к системе координат, связанной с поверхностью проводника. В этой системе координат воздействие вихревых токов на поле в верхнем полупространстве эквивалентно воздействию двух фиктивных витков. Первый фиктивный виток  $I$  (фиг. 1, б) расположен в плоскости  $z = -h_0$ , неподвижен («вморожен» в проводник), имеет такую же величину и то же направление тока, что и в истинном витке. Второй фиктивный виток  $II$  расположен в плоскости  $z = -h(t)$ , имеет такую же величину тока, что и истинный виток, но противоположное направление тока. Как и истинный виток, он приближается к плоскости  $z = 0$  со скоростью  $u(t)$ . Для такой схемы замещения идеально проводящего полупространства ЭДС индукции  $\mathcal{E}_1$  в витке с постоянным током  $I_0$  связана со скоростью  $u(t)$  следующим соотношением:

$$(1.1) \quad \mathcal{E}_1(t) = I_0 \alpha_1(t) u(t), \text{ где}$$



Ф и г. 1



Ф и г. 2

$$(1.2) \quad \alpha_1(t) = \mu_0 \left\{ \frac{h}{R_1} k_1 \left[ \frac{2 - k_1^2}{1 - k_1^2} E(k_1^2) - 2K(k_1^2) \right] - \frac{h + h_0}{4R_1} k_2 \times \right. \\ \left. \times \left[ \frac{2 - k_2^2}{1 - k_2^2} E(k_2^2) - 2K(k_2^2) \right] \right\}, \quad k_1^2 = \frac{1}{1 + \left( \frac{h}{R_1} \right)^2}, \quad k_2^2 = \frac{1}{1 + \left( \frac{h + h_0}{2R_1} \right)^2},$$

$E(k_i^2)$ ,  $K(k_i^2)$  — полные эллиптические интегралы первого и второго рода соответственно ( $i = 1, 2$ ). Из формулы (1.2) видно, что коэффициент  $\alpha_1$  является функцией не только текущего расстояния  $h(t)$  от витка до поверхности проводника, но и функцией первоначального расстояния  $h_0$ . Характер зависимости коэффициента  $\alpha_1$  от величины  $h/R_1$  для  $h_0/R_1 = 0,45; 0,50; 0,55$  виден из фиг. 2 (линии 1—3 соответственно).

В реальных условиях эксперимента в отличие от идеализированной схемы (см. фиг. 1, а) диэлектрическая среда приобретает заметную электропроводность  $\sigma_*$  за фронтом ударной волны, а идеально проводящее полупространство — это металлическая пластина с ограниченными размерами (толщиной, диаметром) и с конечной электропроводностью  $\sigma$ .

Оценим значения электропроводности ударно-сжатого диэлектрика, при которых отсутствует его взаимодействие с магнитным полем витка с током. Такое взаимодействие практически отсутствует [8], если магнитное число Рейнольдса  $Re_m = \mu_0 \sigma_* u R_1 \ll 1$ , что для  $u = 5$  км/с эквивалентно условию  $\sigma_* \ll 10^2$  (Ом·см) $^{-1}$ . Для многих конденсированных диэлектриков последнее условие выполняется в достаточно широком диапазоне давлений ударного сжатия. Например, электропроводность нитрида бора при давлении ударного сжатия  $p \simeq 50$  ГПа составляет 0,37 (Ом·см) $^{-1}$ , а электропроводность хлористого калия при таком же давлении 1,47 (Ом·см) $^{-1}$  [9].

Влияние конечности электропроводности металлов и ограниченности размеров пластин из них на регистрируемый сигнал исследовалось в данной работе экспериментально в одном из возможных вариантов технической реализации метода.

**2. Описание экспериментального комплекса и техники измерений.** Очевидно, что для увеличения ЭДС индукции целесообразно использовать не один виток, а несколько, т. е. катушку индуктивности. Согласно [10], реальную катушку индуктивности можно привести к случаю обмоток с пренебрежимо малым поперечным сечением. Эквивалентные параметры катушки (датчика) при этом определяются следующим образом:

$$h_\vartheta = \bar{h}, \quad R_\vartheta = \bar{R}(1 + r^2/24\bar{R}^2).$$

Здесь  $\bar{h}$  — среднее расстояние от обмотки до проводящей поверхности;  $r$  — ширина обмотки;  $\bar{R}$  — ее средний радиус. В соответствии с принципом суперпозиции полей витков эквивалентной катушки индуктивности и соотношениями (1.1), (1.2) ЭДС индукции в ней составит

$$(2.1) \quad \mathcal{E} = I_0 \alpha u, \\ \text{где } \alpha = \alpha_1 N^2;$$

$N$  — число витков;  $\alpha_1$  — коэффициент для эквивалентного витка.

В данной работе датчик изготавливался из 8 витков изолированного медного провода диаметром 1 мм со значениями  $R_s \simeq 16$  мм,  $r \simeq 5$  мм и с толщиной обмотки 2,5 мм. Плоские ударные волны в исследуемых средах создавались с помощью цилиндрических зарядов взрывчатых веществ диаметром 120 или 200 мм с несинхронностью движения фронта волны на диаметре 100 мм, не превышающей обычно  $\sim 0,1$  мкс. Длительность исследуемого процесса составляла 1—2 мкс. Взрыв осуществлялся через  $\sim 0,1$  с после подачи тока в цепь датчика. Ток в цепи датчика  $I_0 \simeq 400$  А создавался с помощью аккумуляторов, установленных в защитном сооружении. Для стабилизации тока в цепь питания датчика последовательно с ним включалась буферная катушка индуктивности, размещаемая в 2—3 м от места взрыва в защитном контейнере, углубленном в грунт.

Величина тока  $I_0$  в момент взрыва определялась по регистрируемому шлейфовым осциллографом падению напряжения на эталонном сопротивлении 1 мОм, включенном в цепь питания датчика. Электрическое сопротивление датчика и остальной цепи не превышало 60 мОм. Искажения сигнала с датчика, обусловленные наличием кабелей питания, в значительной мере устраивались с помощью их шунтирования конденсатором емкостью 1 мКФ в контейнере для буферной катушки индуктивности. Сигнал с датчика снимался с помощью согласованного радиочастотного кабеля длиной около 50 м и при скоростях  $u \geq 0,5$  км/с был достаточен для регистрации электронным осциллографом без применения промежуточного усиления. Никаких мер по экранировке измерительного узла не предпринималось.

Естественно, что в реальной электрической цепи регистрируемый сигнал будет несколько отличаться от индуцируемой в датчике ЭДС. Эквивалентная схема реальной цепи для переменных составляющих тока и напряжения представлена на фиг. 3, где  $L_1$  — индуктивность датчика,  $L_2$  — индуктивность буферной катушки ( $L_2 \gg L_1$ ),  $R_h$  — сопротивление нагрузки,  $C$  — паразитная емкость цепи и датчика. Электродвижущая сила индукции  $\mathcal{E}(t)$  для такой схемы связана с регистрируемым напряжением  $V(t)$  соотношением

$$2.2) \quad \mathcal{E} = (1 + L_1/L_2)V + \tau dV/dt + T^2 d^2V/dt^2,$$

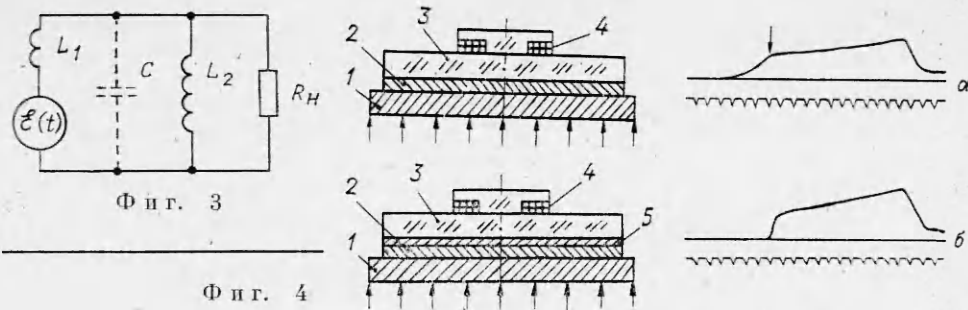
где  $\tau = L_1/R_h$ ,  $T^2 = L_1C$ . Параметры цепи в данной работе составляли:  $L_1 = 2,5$  мкГн,  $L_2 = 100$  мкГн,  $R_h = 50$  Ом,  $C \simeq 500$  пФ. Из соотношения (2.2) видно, что для уменьшения отличия напряжения  $V(t)$  от ЭДС индукции необходимо уменьшать  $C$  и  $L_1$ . Влияние паразитной емкости может быть уменьшено, если сигнал снимать не с катушки, служащей источником магнитного поля, а соосной с ней измерительной катушки. Формулу для  $\mathcal{E}(t)$  в этом случае можно получить, если воспользоваться схемой замещения идеально проводящего полупространства (см. фиг. 1, б). Чрезмерное уменьшение  $L_1$  нежелательно, так как при этом уменьшается величина регистрируемого сигнала, что снижает помехоустойчивость метода.

**3. Результаты экспериментальной отработки метода.** 3.1. *Влияние конечности электропроводности металла.* Пусть проводящее полупространство 2 (см. фиг. 1, а) имеет конечную электропроводность  $\sigma$ , а граница его раздела с диэлектрической средой 1 приобретает за фронтом ударной волны постоянную скорость  $u$ . Получение аналитического выражения для ЭДС индукции  $\mathcal{E}_\sigma$  в случае конечности электропроводности  $\sigma$  является довольно сложной задачей. В данной работе ограничимся лишь выявлением функциональной связи ЭДС индукции  $\mathcal{E}_\sigma$  с электропроводностью  $\sigma$ . Предположим, что ЭДС индукции может быть записана в виде

$$(3.1) \quad \mathcal{E}_\sigma = f(I_0, \mu_0, u, R_1, t, \sigma, h_0) = I_0 \alpha_\sigma u.$$

Тогда из (3.1) и соображений теории размерности [11] следует, что

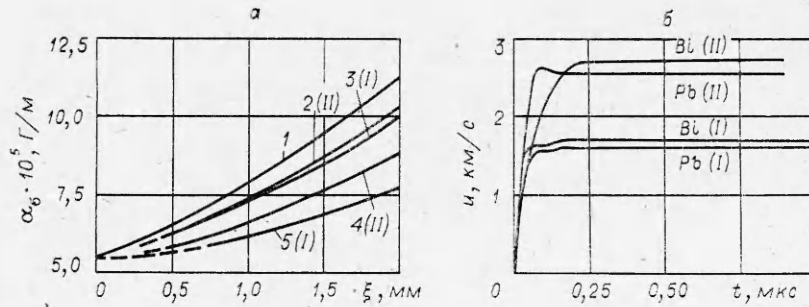
$$\alpha_\sigma = \mathcal{E}_\sigma/I_0 u = \mu_0 \varphi(h_0/R_1, ut/R_1, \mu_0 \sigma u R_1).$$



Последнее соотношение для фиксированных значений  $h_0$  и  $R_1$  приобретает вид  $\alpha_\sigma = \alpha_\sigma(\xi, \sigma u)$ , где  $\xi = ut$  — смещение проводящей поверхности, а  $\sigma u$  — параметр, зависящий от электропроводности металла и условий нагружения. В данной работе для получения экспериментальной зависимости  $\alpha_\sigma(\xi)$  выбраны металлы, существенно отличающиеся по электрическим свойствам: медь, свинец, висмут. Удельная электропроводность меди, как известно, примерно в 10 раз больше электропроводности свинца и в 70 раз больше электропроводности висмута. Выполнено две серии опытов. В первой серии плоская ударная волна прямоугольного профиля из алюминиевого экрана 1 (фиг. 4, а) взрывного устройства вводилась в свинцовый или висмутовый образец 2, а затем в образец 3 из оргстекла. Толщины ( $S$ ) образцов 2, 3 составляли 5 и 6 мм, а их диаметры — 100 мм. Сигнал снимался с помощью датчика 4. Вторая серия опытов (фиг. 4, б) отличалась от первой тем, что на границу раздела свинец (висмут) — диэлектрик помещалась медная пластина 5 диаметром 100 мм и толщиной 0,3 мм, достаточно быстро приобретающая скорость этой границы. В опытах использовались два типа взрывных устройств I и II с известными параметрами ударной волны за фронтом ударной волны в экране 1 ( $u_3 = 1,46$  и  $2,33$  км/с соответственно), обеспечивающих исходное давление в образцах 2  $p \approx 40-80$  ГПа.

На фиг. 4, а, б приведены также осциллограммы первой и второй серий опытов с висмутом, выполненных на взрывном устройстве I. Частота меток времени  $f = 10$  МГц. В опытах первой серии с висмутом зафиксировано опережающее фронт ударной волны возмущение магнитного поля, т. е. появление ЭДС индукции в датчике за время  $\tau_* = 0,3-0,35$  мкс до момента выхода ударной волны на границу раздела висмут — диэлектрик. Этот момент на фиг. 4, а показан стрелкой. Определен он по длительности импульса, соответствующего осциллограмме опыта второй серии (фиг. 4, б), в котором опережающее ударную волну возмущение магнитного поля практически отсутствует. Не замечено оно и в опытах обеих серий со свинцом. Экспериментальное значение  $\tau_*$  для висмута находится в хорошем согласии с полученной в [6, 7] формулой  $\tau_* = 1/\mu_0\sigma D^2$ , где  $D$  — скорость фронта ударной волны в металле. Для свинца и меди расчетные значения  $\tau_*$  не превышают 0,05 и 0,005 мкс соответственно.

На фиг. 5, а в сравнении с расчетной зависимостью  $\alpha(\xi)$  для идеального проводника (кривая 1) представлены экспериментальные зависимости  $\alpha_\sigma(\xi) = \mathcal{E}_c/I_0 u$  для свинца (кривые 2, 3) и висмута (кривые 4, 5); римские цифры I и II соответствуют номерам взрывных устройств. Значения скоростей  $u$  определялись по известным параметрам взрывных устройств и ударным адиабатам алюминия, свинца, висмута. Видно, что зависимости  $\alpha_\sigma(\xi)$  для свинца и висмута располагаются заметно ниже зависимости  $\alpha(\xi)$  для идеального проводника. При этом величина относительного отклонения  $\delta\alpha_\sigma = (\alpha - \alpha_\sigma)/\alpha$  растет по мере смещения поверхности металла. При смещении  $\xi = 2$  мм относительное уменьшение величины  $\alpha_\sigma$  составляет для свинца примерно 10%, для висмута 20—30%. Экспериментальные зависимости  $\alpha_\sigma(\xi)$  для меди (опыты второй серии) оказались весьма близкими к зависимости  $\alpha(\xi)$  для идеального проводника. Максимальная



Фиг. 5

величина  $\delta\alpha_0$  для меди при  $\xi = 2$  мм, оцененная по данным для свинца и висмута ( $\delta\alpha_0 \sim 1/\sqrt{\sigma_0}$ ), составляет 3%.

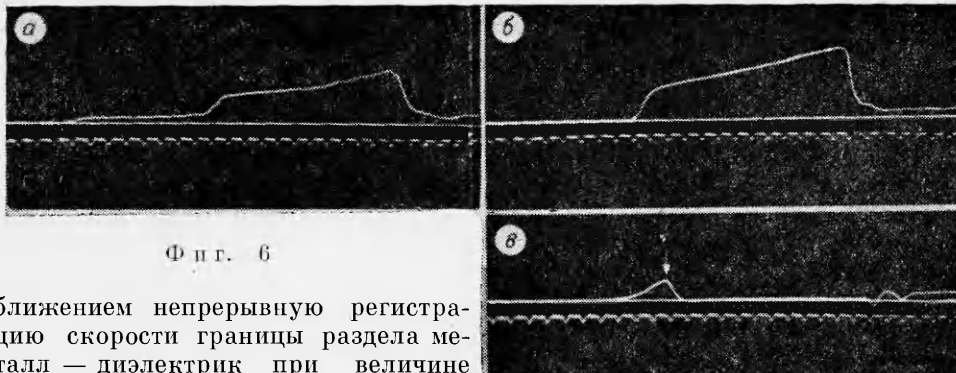
На фиг. 5, б представлены экспериментальные зависимости  $u(t)$ , извлеченные с помощью соотношений (2.1), (2.2) из осциллограмм  $V(t)$  опытов второй серии с Bi и Pb с учетом небольшой эмпирической поправки на конечность электропроводности меди. Операция извлечения  $u(t)$  из осциллограммы  $V(t)$  не представляет особых затруднений при использовании ЭВМ. Как отмечалось выше, в исследуемом образце создавалась ударная волна с постоянным давлением (скоростью) за фронтом. Полученные экспериментальные зависимости  $u(t)$  действительно имеют практически прямоугольный профиль, а значения скоростей с точностью  $\pm 2\%$  совпадают со скоростями, определенными по известным ударным адиабатам металлов и параметрам взрывных устройств I и II.

**3.2. Влияние толщины металлической пластины.** В опытах толщина медной пластины составляла всего 0,3 мм, но, как было показано выше, этого оказалось достаточно, чтобы с хорошим приближением считать такую пластину идеально проводящим полупространством.

Очевидно, что если уменьшить толщину пластины (фольги) до значений, меньших, чем толщина поверхностного токового слоя в меди, то начнет проявляться эффект диффузии через нее магнитного поля, что, естественно, приведет к искажению регистрируемого сигнала. Влияние этого эффекта на сигнал изучалось в специальной серии опытов на примере двух металлов — меди и алюминия. Толщина фольги (при ее диаметре не менее 100 мм) изменялась от 0,01 до 0,3 мм. Диэлектрическая среда, в которую помещалась фольга, подвергалась нагружению плоской ударной волной прямоугольного профиля. Установлено, что при давлении в диэлектрике  $p \approx 20$  ГПа сигнал практически не зависит от толщины фольги, если ее величина не меньше 0,1 мм для меди и 0,2 мм для алюминия. Для давлений в диэлектрике  $p \approx 60$  ГПа критические толщины медной и алюминиевой фольг составляют 0,2 и 0,3 мм соответственно.

**3.3. Влияние диаметра проводящей поверхности.** Для правильной постановки эксперимента необходима информация об эффективном диаметре проводящей поверхности, обеспечивающем практически полный вклад в регистрируемый сигнал. С целью получения такой информации проведена серия опытов по исследованию зависимости величины сигнала от диаметра отверстия в алюминиевой фольге толщиной 0,3 мм, вмонтированной в диэлектрик. Установлено, что практически полный вклад (99%) в сигнал обеспечивает проводящая поверхность диаметром  $5R_1$  и  $5,7R_1$  для  $h_0/R_1 = 0,45$  и 0,7 соответственно. При радиусе датчика  $R_1 \approx 16$  мм, использованного в данной работе, эффективный диаметр проводящей поверхности составляет 80—90 мм для  $h_0 = 7$ —11 мм.

**4. Возможности метода и примеры его применения.** При экспериментальной отработке индукционного метода установлено, что поведение меди в ударно-волновых процессах близко к поведению идеального проводника. Этот факт позволяет, применяя полученные в п. 1, 2 соотношения для идеальных проводников, осуществлять с достаточно хорошим при-



Фиг. 6

ближением непрерывную регистрацию скорости границы раздела металл — диэлектрик при величине электропроводности металла, близкой к электропроводности меди. Для регистрации скорости границы раздела диэлектрика с проводником, имеющим низкую электропроводность (висмут, графит и т. п.), или скорости диэлектрической среды необходимо на границу раздела или в диэлектрик помещать тонкую в газодинамическом смысле, но достаточно толстую в электромагнитном смысле медную или алюминиевую фольгу (толщиной от 0,1 до 0,3 мм в зависимости от материала фольги и давления ударного сжатия). В частном случае, если диэлектриком является воздух, метод позволяет осуществлять непрерывную регистрацию скорости свободной поверхности исследуемого вещества. При необходимости устранения небольшого систематического занижения скорости, связанного с конечностью электропроводности меди (алюминия) и не превышающего обычно 3%, в результаты изменения вносится поправка, которая определяется расчетным путем или в специальных калибровочных опытах. Выполненные к настоящему времени опыты с применением индукционного метода (в заранее известных по другим измерениям условиях) показывают, что экспериментальные значения скоростей с учетом поправки на конечность электропроводности меди (алюминия) отличаются от ожидаемых не более чем на  $\pm 3-4\%$ . Аналогичными характеристиками точности обладают, как известно, магнитно-электрический и емкостный методы.

Так как индукционный метод позволяет осуществлять непрерывную регистрацию скорости конденсированной среды, он может быть применен для исследования сложных ударно-волновых процессов, например: упругопластических волн, фазовых превращений, искусственно создаваемых волн нагрузки, расширения и т. п. В качестве примера применения метода на фиг. 6, а представлена осциллограмма опыта по регистрации разделения упругой и пластической волн в кварците плотностью  $2,65 \text{ г}/\text{см}^3$ , контактирующем с зарядом ВВ (диаметром и длиной 200 мм) из состава ТГ 50/50 после прохождения упругой волной пути 55 мм. ЭДС индукции в этом опыте обусловлена движением введенной в кварцит при  $S = 55 \text{ мм}$  алюминиевой фольги толщиной 0,2 мм. Как видно из фиг. 6, а, упругая волна опережает пластическую на 0,8 мкс. Массовая скорость кварцита в упругом предвестнике увеличивается от 0,3 км/с на его фронте до 0,45 км/с перед фронтом пластической волны; за ее фронтом  $u = 1,35 \text{ км}/\text{с}$ .

Специфическая особенность индукционного метода и методов [4, 5] состоит в возможности наглядного наблюдения фазовых превращений в ударных волнах, связанных с существенным изменением электрических свойств исследуемых материалов, т. е. превращений типа диэлектрик — металл или металл — диэлектрик. Примером реализации этой особенности метода может служить регистрация превращения графит — алмаз. Алмаз, как известно, является диэлектриком.

На фиг. 6, б приведена осциллограмма опыта, в котором с помощью алюминиевой фольги толщиной 0,2 мм измерялась скорость границы раздела образцов из графита ( $S = 10 \text{ мм}$ ) и фторопласта ( $S = 7 \text{ мм}$ ). Плотность графита в опыте составляла  $2,10 \text{ г}/\text{см}^3$ , плотность фторопласта

2,21 г/см<sup>3</sup>. Зафиксирована скорость  $u = 2,3$  км/с, соответствующая давлению  $p \approx 30$  ГПа. Известно [12], что превращение графита в алмаз начинается при ударном сжатии с давления  $p \approx 20$  ГПа и почти завершается при  $p \geq 40$  ГПа.

На фиг. 6, в представлена осциллограмма опыта, выполненного в тех же условиях нагружения ( $p \approx 30$  ГПа), но без алюминиевой фольги на границе раздела графит — фторопласт. Как и в опыте с висмутом (см. фиг. 4, а), видно, что выходу ударной волны из проводника на границу его раздела с диэлектриком предшествует опережающее возмущение магнитного поля. В опыте с графитом, однако, в момент выхода ударной волны на границу раздела (отмеченном на фиг. 6, в стрелкой) ЭДС индукции в датчике исчезает, что служит наглядным свидетельством диэлектризации ударно-сжатого графита, т. е. превращения, по крайней мере, части его в алмаз.

Поступила 23 VI 1981

#### ЛИТЕРАТУРА

1. Альтшулер Л. В. Применение ударных волн в физике высоких давлений.— УФН, 1965, т. 85, вып. 2.
2. Иванов А. Г., Новиков С. А. Метод емкостного датчика для измерения мгновенной скорости движущейся поверхности.— Приборы и техника эксперимента, 1963, № 1.
3. Жугин Ю. Н., Крупников К. К. Индукционный датчик для регистрации кратковременных процессов. Авт. свид. № 468150. БИ, 1975, № 15.
4. Fritz J. N., Morgan J. A. An electromagnetic technique for measuring material velocity.— Rev. Sci. Instrum., 1973, vol. 44, N 2.
5. Нестеренко В. Ф. Бесконтактный метод измерения параметров ударно-сжатых металлов.— В кн.: Тезисы докладов III Всесоюз. симпозиума по импульсным давлениям. М., 1979.
6. Забабахин Е. И., Нечаев М. Н. Ударные волны поля и их кумуляция.— ЖЭТФ, 1957, т. 33, вып. 2(8).
7. Бюргерс Ж. М. Проникание ударной волны в магнитное поле.— В кн.: Магнитная гидродинамика (материалы симпозиума). М.: Атомиздат, 1958.
8. Шерклиф Дж. Курс магнитной гидродинамики. М.: Мир, 1967.
9. Кулешова Л. В. Электропроводность нитрида бора, хлористого калия и фторопласта-4 за фронтом ударных волн.— ФТТ, 1969, т. 11, вып. 5.
10. Соболев В. С., Шкарлет Ю. М. Накладные и экранные датчики. Новосибирск: Наука, 1967.
11. Седов Л. И. Методы подобия и размерности в механике. М.: Наука, 1967.
12. Alder B. J., Christian R. H. Behavior of strongly shocked carbon.— Phys. Rev. Lett., 1961, vol. 7, N 10.

УДК 534.222

#### ИЗЛУЧЕНИЕ УПРУГИХ ВОЛН ПРИ ВЗРЫВЕ В ПОРИСТОЙ УИРУГОПЛАСТИЧЕСКОЙ СРЕДЕ

C. З. Дунин, A. M. Масленников, O. B. Нагорнов, B. C. Фетисов  
(Москва)

Расчет сейсмических волн, образующихся при камуфлированном подземном взрыве, проводился в [1—4], где сделаны определенные упрощающие предположения. В [1, 2] среда за фронтом ударной волны предполагалась несжимаемой. На основе приближенной схемы развития взрыва в прочной горной породе, предложенной в [3], сделана оценка основных параметров продольных упругих волн, излучаемых при взрыве. В [4] рассмотрено влияние упругого предвестника на движение в ближней зоне взрыва для прочной горной породы в предположении, что на фронте волны выполняется условие сдвигового разрушения, за фронтом ударной волны среда не имеет прочности и описывается уравнением состояния, полученным по ударным аднабатам для твердого тела.

Представляет интерес задача об излучении упругой волны с минимумом упрощающих предположений, решить которую возможно только численными методами (см., например, [5, 6]).

Одной из важных задач при изучении сейсмического эффекта подземного взрыва в реальных грунтах и горных породах является получение детальных характеристик